



CS06RA440

IZRAČUNIVANJE DEPRESIJE FLUKSA TERMALNIH NEUTRONA

U"PETLJI" VISA-1

1. U V O D

Petlja VISA-1 namenjena je, između ostalog, ispitivanju materijala na termička naprezanja. Za ova ispitivanja potrebno je poznavati maksimalnu snagu koja se razvija u petlji. Ova maksimalna snaga određuje se iz maksimalnog fluksa termalnih neutrona u kanalu VK-5 i srednje depresije fluksa termalnih neutrona u fisičkoj komponenti petlje.

Depresija fluksa termalnih neutrona u petlji uzrokovana je apsorpcijom u komponentama petlje, geometrijom ovih komponenata i isticanjem neutrona preko šupljina u petlji kao i osobinama reaktorske sredine koja okružuje petlju. Svi ovi faktori uzeti su u obzir i izračunata je depresija fluksa termalnih neutrona u petlji VISA-1. Primenjena je difuziona teorija sa dve grupe neutrona preko modela sa "beskonačnim ravnim fluksom" [3]. Uzeti su u obzir brzi neutroni nastali fisijom u petlji i usporeni u okolnoj sredini - aktivnoj zoni RA.

Depresija neutronskog fluksa izražena je depresionim faktorom DF, koji predstavlja odnos srednjeg fluksa termalnih neutrona u fisičkoj komponenti petlje prema fluksu termalnih neutrona u VK-5 bez petlje.

Izvršena je procena greške i izведен je zaključak da je poželjno i eksperimentalno određivanje depresionog faktora. Moguće je izračunati depresioni faktor i drugim teorijskim metodama i izvršiti upoređivanje rezultata.

U izvršenju ovog zadatka učestvovali su Martinc Radovan, fizičar i Branjee Zoran, tehničar.

2. TEORIJA

Primenjena je difuzijska teorija sa dve grupe neutrona. U brzoj grupi neutrona uzeti su u obzir (samo) brzi neutroni stvoreni u petlji ualed fisije. Brzi neutroni koji dolaze u petlju iz okolne reaktorske sredine nisu uzeti u obzir jer je kolicina moderirajućih materijala košljice od Beriliijuma u petlji relativno vrlo mala, kao i efekat brze fisije u fisijskoj komponenti petlje.

Korišten je model „beskonačnog ravnog fluksa“, tj. predpostavljeno je da nedisturbirani fluks termalnih neutrona u reaktoru ima oblik beskonačnog ravnog fluksa u koji se ubacuje petlja [3]. Na ovako određenu raspodelu termalnog fluksa primenjuje se korekcija zbog realne mikroskopske raspodele termalnog neutronskog fluksa u reaktoru RA, koja u blizini centra aktivne zone ima oblik $AJ_0(\alpha r)$. Prema tome:

$$\Psi(r) = \Phi(r) \frac{AJ_0(\alpha r)}{\Phi_{2\infty}} \quad (1)$$

gde je A fluks termalnih neutrona u centru reaktora bez petlje, $\Phi_{2\infty}$ je beskonačan ravan fluks termalnih neutrona i on je jednak vrednosti fluksa u centru reaktora. Radi podešenosti je proizvoljno uzeto da je $\Phi_{2\infty} \equiv A = 1$. $\Phi(r)$ je distribucija termalnih neutrona u petlji ubačenoj u "beskonačan ravan fluks" termalnih neutrona i oko nje a $\Psi(r)$ je raspodela termalnih neutrona u petlji i oko nje kad je petlja ubaćena u makroskopski fluks koji odgovara reaktoru RA.

Obzirem da se raspolaze veličinom termalnog fluksa, koji odgovara maksimalnoj snazi reaktora RA, izmerenom u kanalu VK-5, a ne u centru reaktora bez kanala, na koju se

primenjuje izračunati faktor depresije, predhodno je izračunata depresija fluksa koja potiče samo od kanala VK-5 i prema tome konstanta A, odnosno izmereni fluks u kanalu VK-5 se moraju povećati za odgovarajuću veličinu koja iznosi $A_{cor} = 1,0295$. Ovaj račun dat je na str. 5.

Kratki prikaz metode "beskonačnog ravneg fluksa".

Ako se u beskonačni ravan fluksa "termalnih neutrona" ϕ_{200} ubaci "petlja" u obliku cilindričnog apsorbera radijusa a i centar ovakve "petlje" isabere za centar cilindričnog koordinatnog sistema, onda će rešenje difuzione jednačine za termalne neutrone imati oblik:

$$\begin{aligned}\phi_{2e} &= \phi_{200} - A I_0(k_{2e}r) \text{ u materijalu oko petlje} \\ \phi_{2p} &= B I_0(k_{2p}r) \quad \text{u petlji}\end{aligned}\quad (2)$$

Konstante A i B određuju se iz graničnih uslova:

$$\phi_{2e}(a) = \phi_{2p}(a)$$

$$D_{2e} \phi_{2e}(a) = D_{2p} \phi_{2p}(a) \quad (2a)$$

tj.

$$\begin{aligned}\phi_{200} - A I_0(k_{2e}a) &= B I_0(k_{2p}a) \\ D_{2e} A I_0(k_{2e}a) &= D_{2p} B I_0(k_{2p}a)\end{aligned}\quad (2b)$$

Iz sistema jednačina (2b) mogu se odrediti konstante A i B:

$$A = \frac{D_{2e} k_{2e} I_0(k_{2p}a) \cdot \phi_{200}}{D_{2e} k_{2e} I_0(k_{2e}a) I_1(k_{2e}a) + D_{2p} k_{2p} I_1(k_{2p}a) I_0(k_{2e}a)} \quad (2b)$$

$$B = \frac{D_{2e} k_{2e} I_0(k_{2p}a) \cdot \phi_{200}}{D_{2e} k_{2e} I_0(k_{2p}a) I_1(k_{2e}a) + D_{2p} k_{2p} I_1(k_{2p}a) I_0(k_{2e}a)} \quad (2c)$$

Premda tome na površine petlje fluks termalnih neutrona de iznositi:

$$\phi_{2p}(a) = \frac{B_{2e} k_{2e} K_1(k_{2e}a) I_0(k_{2p}a) + \phi_{200}}{B_{2e} k_{2e} I_0(k_{2p}a) K_1(k_{2e}a) + B_{2p} k_{2p} I_1(k_{2p}a) K_0(k_{2e}a)}$$

ili:

ili, posle odgovarajućeg smedjivanja:

$$\phi_{2p}(a) = \frac{\frac{1}{B_{2e} k_{2e}} \frac{I_0(k_{2p}a)}{I_1(k_{2p}a)}}{\frac{1}{B_{2p} k_{2p}} \frac{I_0(k_{2p}a)}{I_1(k_{2p}a)} + \frac{1}{B_{2e} k_{2e}} \frac{I_0(k_{2e}a)}{K_1(k_{2e}a)}} \quad (3)$$

Problem postaje znatne složeniji za numeričko rešavanje u slučaju petlje sa većim brojem komponenata jer raste broj integracionih konstanti koje treba odrediti. Dalje komplikacije nastaju ako se u petlji nalaze šupljine kao i ako neka od komponenata sadrži fizički materijal.

Veliku prednost, u slučaju ovakvih komplikovanih petlji, ima električna analogija procesa u petlji. Ovim metodom određivanja depresije fluksa na bazi dvogrupne difuzione teorije-modela "beskonačnog ravneg fluksa", postiže se veliko skraćenje numeričkog postupka i bolja preglednost u razu bez ikakvog gubitka tačnosti u odnosu na uobičajeni numerički postupak određivanja integracionih konstanti.

U ovoj metodi električne analogije fluks neutrona je analogan električnom potencijalu a protok neutrona sa električnom strujom. U tom slučaju otpor je zamudena veličina po Ohm-ovom zakonu.

Neperturbirani ravni fluks je elektromotorna sila izvora ϕ_{200} a podovi nizova su pojedinačni otporima koji reprezentuju elemente petlje predstavljaju odgovarajuće vrednosti neutronskog fluksa na granici (površini) odgovarajuće komponente petlje. Rasподела neutrona unutar neke komponente se dalje određuje na bazi poznatog rešenja difuzione jednačine za tu komponentu.

Ovde će biti prikazana, radi ilustracije, ova metoda analogije sa električnim kolom na već obradjenom slučaju petlje oblika punog apsorbera ubačenog u reaktor; jed. (3). U slučaju složenije petlje, kao što je VISA, neće biti prilagođeno detaljno izvodjenje jednačina za otpore, već će biti priloženi odgovarajući izrazi i ekvivalentno električno kolo sa izračunatim vrednostima otpora svih komponenata petlje (sl.1).

Depresija fluksa u materijalu okoline (aktivna zona RA) predstavljena je padom napona na "unutrašnjem otporu" izvora. Ovaj otpor se definiše, po Ohm-ovom zakonu, kao odnos depresije fluksa i struje neutrona na površini petlje; na analogan način određuje se i otpor petlje. Uvodjenjem ovakvih "otpora" eliminišu se integracione konstante.

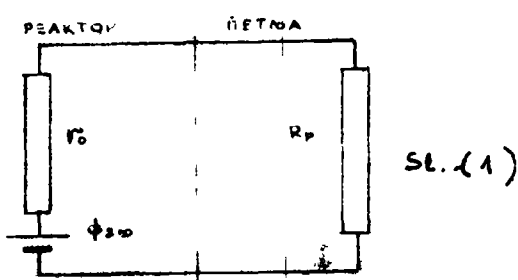
Unutrašnji otpor r_o zavisi samo od nuklearnih osobina i fizičkih parametara okoline, tj. aktivne zone RA.

$$r_o = \left(\frac{\Delta \Phi}{i} \right)_{r=a} = \frac{\phi_{2\infty} - \phi_{2c}}{i_{2c}} \stackrel{(a)}{=} \frac{AK_o(k_{2c}a)}{2\pi a D_{2c} k_{2c} K_l(k_{2c}a)} = \\ = \frac{I_o(k_{2c}a)}{2\pi a D_{2c} k_{2c} K_l(k_{2c}a)} \quad (4)$$

Na sličan način, za otpor koji odgovara apsorberu, tj. u ovom uprošćenom slučaju, petlji, dobija se:

$$R_p = \left(\frac{\Delta \Phi}{i} \right)_{r=a} = \frac{\phi_{2p}}{i_{2p}} = \frac{BI_o(k_{2p}a)}{2B\pi a D_{2p} k_{2p} K_l(k_{2p}a)} = \\ = \frac{I_o(k_{2p}a)}{2\pi a D_{2p} k_{2p} K_l(k_{2p}a)} \quad (5)$$

Ekvivalentno električno kolo prikazano je na sl. (1)



Ako, u cilju razlikovanja fluksa na površini apsorbera, tj. napona na R_p , na električnoj koli, delj, primenimo II Kirchhoff-ov zakon, dobidemo:

$$U_p = \frac{\phi_{2\infty} - \frac{1}{2p} \sum_1^{\infty} \frac{I_0(k_{2p} a)}{k_{2p}}}{\frac{1}{2p} \sum_1^{\infty} \frac{I_0(k_{2p} a)}{k_{2p}} + \frac{D}{2p} \sum_1^{\infty} \frac{I_1(k_{2p} a)}{k_{2p}}} \quad (5)$$

Lako se može videti da su izrazi (3) i (5) identični, što znači da se primenom metoda električne analogije ne gubi ništa od tačnosti u odnosu na uobičajeni tretjam određivanja integracionih konstanti.

Pogodnost električne analogije je naročito velika kod petlji sa većim brojem elemenata. Za elemente oblika cevi mogu se izvesti izrazi za stepen na način sličan onome za apsorber oblika punog štapa. [3]

$$R_p = \frac{I_1(k_{2p} a) I_1(k_{2p} b) + I_0(k_{2p} a) I_0(k_{2p} b)}{2\pi a I_0(k_{2p}) [I_1(k_{2p} a) I_1(k_{2p} b) - I_1(k_{2p} a) I_0(k_{2p} b)]} \quad (6)$$

gde je a speljajući radijus apsorbera a b unutrašnji radijus. Treba napomenuti da je R_p izvedeno pod pretpostavkom da preko šupljina koju obuhvata cevasti element nema isticanja neutrona, ili da se u toj šupljini ne nalazi više nijedan apsorber. Električna cevi, koji obuhvataju u sebi druge komponente petlje, mogu se reprezentovati na način drugčiji način, tj. efekti apsorpcije i transporta predstavljeni su posebnim stepenima α , i β . [3] s tim, što stepen koji predstavlja apsorpciju je u električnom kolu ~~paralelni~~ paralelni a oni koji predstavljaju efekat transporta serijski.

$$\alpha_p = \frac{1}{2\pi a} \left(\sum \alpha_i + \beta^2 \right) \quad \beta_p = \frac{1}{2\pi a} \sum \beta_i \quad (6a)$$

gde su α debljina cevi a α_i redni radijusi. Može se muditivski dokazati iz izraza za ovu stepenu da postoji njihovo važivanje, da se za "napon", taj znači i straga zastupljenje, dobije isti izraz (kombinacija Legendre-ovih funkcija) kao onaj dobijen na osnovu rešavanja difuzione jednačine na cevasti element na senevu koga je, primenom odgovarajućih graničnih uslova, dobijen izraz (6).

Što se tiče isticanja neutrona preko šupljina i uticaja ovog isticanja na raspodelu fluksa u petlji sa šupljinama vrlo je teško analitički rešiti ovaj problem. Ovaj uticaj isticanja neutrona preko šupljine zavisi u najvećoj meri od efektivne visine reaktora, tj. aksijalne komponente bucklinga i dimenzija šupljine. U skladu sa ovim, izvedena je empirijska formula (ref.3), koja neposredno daje vrednost otpora koji odgovara efektu isticanja u zavisnosti od aksijalne bucklinga i dimenzija šupljine:

$$R = \frac{1,41}{a-b} \beta^{-4,32} \cdot 10^8 \quad (7)$$

Dimenziije šupljine u petlji VISA i aksijalni buckling RA nalaze se u domenu vrednosti β za kojima su vršni odgovarajući eksperimenti na osnovu koje je izvedena jed. (7), te je primena ove formule na naš slučaj opravdana.

Odmirem da iz šupljine koju obuhvata prstenasti gorivni element, u našem slučaju, neutroni ističu, formula (6) nije primenjiva, a takođe, zbog velike apsorpcije, ni formule koje su primenjene na obloge od Al, Be i Zircaloy 2. Zbog tog je, u našem slučaju, izvedena formula za otpor koji predstavlja istovremeno apsorpciju i transport u gorivnom elementu i isticanje neutrona preko šupljine koja je, preko formule (7), predstavljeno sa R_3 :

$$\frac{I_0(k_{2p}a) + \frac{2\pi b D_{2p} k_{2p} I_1(k_{2p}a) - I_0(k_{2p}b)}{2\pi b D_{2p} k_{2p} I_1(k_{2p}b) + I_0(k_{2p}b)}}{R_3} K_0(k_{2p}a) \quad (8)$$

$$\frac{2\pi a D_{2p} k_{2p} \left[I_1(k_{2p}a) - \frac{2\pi b D_{2p} k_{2p} I_1(k_{2p}b) - I_0(k_{2p}b)}{2\pi b D_{2p} k_{2p} I_1(k_{2p}b) R_3 + K_0(k_{2p}b)} \right]}{(8)}$$

Na šupljini u beskonačno visokom reaktoru ne može doći do promene neutronskog fluksa ukoliko šupljina ne sadrži neki apsorber. U slučaju reaktora sa beskonačnom visinom efekat šupljine na distribuciju fluksa zavisi samo od geometrije šupljine i apsorpcije u njoj. Newmarch [ref.4] je izveo analitičke izraze za depresiju fluksa na šupljini u zavisnosti od geometrije šupljine i osobina apsorbera koji se nalazi u njoj, samo za slučajeve kada šupljina sadrži apsorber oblika šipke i cevi (cevi bez apsorpcije u njoj ili isticanja iz nje). Za slučaj da se u šupljini nalaze kombinacije (koncentričnih) apsorbera i drugih šupljina, analitički izraz bi bio veoma koplikovan. Takav slučaj je u električnoj analogiji lako rešiv. Koristeći formule izvedene u [ref.4] i definiciju otpora u električnoj analogiji izведен je izraz za otpor koji odgovara efektu geometrije šupljine. Ovaj izraz je zavisan samo od geometrije šupljine (spoljašnji i unutrašnji radijus) dok se zavisnost od apsorpcije elemenata u šupljini predstavlja kombinacijom odgovarajućih otpora u električnom kolu. Otpor koji odgovara uticaju geometrije šupljine na raspodelu termalnog fluksa vezuje se u električnom kolu sešteški i dat je izrazom:

$$R = \frac{1}{\pi b} \left[1 - \frac{2}{\pi} \operatorname{arc} \sin \frac{b}{a} - \frac{2}{\pi} \frac{b}{a} \sqrt{1 - \frac{b^2}{a^2}} \right] \quad (9)$$

gde je a spoljašnji a b unutrašnji radijus šupljine.

Ukoliko petlja sadrži i fisilnu komponentu, brzi neutroni, koji se pojavljuju usled fisije u fisilnoj komponenti petlje, izlaze iz nje i usporavaju se u okolnjem materijalu. Deo ovih neutrona odlazi u reaktor (i smanjuje depresiju fluksa u okolini petlje, tj. pad napona na "otporu"

izvora"). Flukus ovih termalizovanih neutrona na površini petlje smanjuje depresiju termalnog flukusa na toj površini i predstavljen je izvorom napona V_p vezanim u seriji sa r_o , sa polaritetom, koji smanjuje ukupan napon između izvora $\phi_{2\infty}$ i otpora koji reprezentuju petlju ϕ_2 . Smanjenje depresije na površini petlje ima za posledicu smanjenje depresije u fisičkoj komponenti petlje u istom odnosu.

U slučaju fisičke komponente u petlji, raspodela termalnih neutrona u polarni petlji data je izrazom

$$\phi_{2e} = \phi_{2\infty} - A \cdot K_0(k_{2e} r) + CS \cdot K_0(k_{1e} r) \quad (8)$$

gde je S odnos termalnih i brzih neutrona na mestu u koje se ubacuje petlja (u našem slučaju centar reaktora). Flukus termalnih neutrona koji su nastali usporavanjem brzih prema tome, je:

$$\phi_x = CS \cdot K_0(k_{1e} a) \quad (9)$$

a odgovarajuća struja je:

$$i_x = CS \cdot 2\pi a D_{2e} K_{1e} K_1(k_{1e} a) \quad (10)$$

Konstanta C se određuje iz uslova da je brza struja preko površine petlje jednaka proizvodu termalne struje u fisičkoj komponenti i faktora usmnožavanja fisičke komponente (u ovom uslovu zanemareni su gubici ~~nefisičkih~~ brzih neutrona na isticanju preko supljina petlje i na apsorpciji u nefisičkim komponentama petlje koja je relativno vrlo mala)

$$2\pi a C D_{2e} K_{1e} K_1(k_{1e} a) = \eta \cdot i_1$$

gde je i_1 struja termalnih neutrona u fisičkoj komponenti petlje. Odavde je:

$$C = \frac{\eta}{2\pi a D_{2e} K_{1e} K_1(k_{1e} a)} \quad (11)$$

Prema tome jednačine (9) i (10) postaju

$$V_p = \frac{S K_0(k_{2e} a) \cdot \eta \cdot i_1}{2\pi a D_{2e} K_{1e} K_1(k_{1e} a)} = a \eta i_1 \quad (11a)$$

$$i_f = \frac{SD_{2c}}{D_{1c}} \cdot i_1 = b \cdot i_1 \quad /11b/$$

Struja i_f je struja koja ide sa površine petlje u reaktor i koja potiče od raspodele fluksa termalnih neutrona nastalih termalizovanjem brzih neutrona iz petlje, jed. /10/. U električnom modelu i_f prolazi kroz otpor r_o u suprotnom smeru od struje koja potiče od $\Phi_{2\infty}$ i smanjuje pad napona na r_o .

3. REZULTATI PRORAČUNA

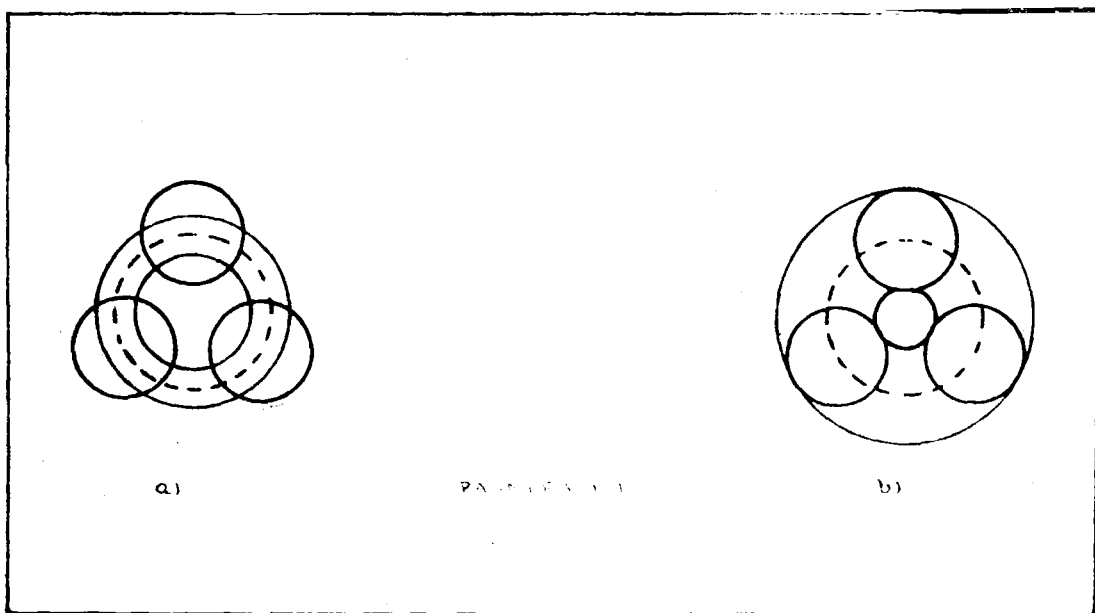
2.1 Izračunata je raspodela fluksa termalnih neutrona u elementima petlje VISA-1, koja sadrži fasilnu komponentu od $U_0^2 /2\%/\text{U-235}$ i ubaćena je u centralni vertikalni kanal reaktora RA. Takođe je izračinata srednja depresija fluksa termalnih neutrona u fasilnoj komponenti. Rezultati ovog računa prikazani su na dijagramu 4.

2.2 Sastav i dimenzije petlje VISA-1.

Dimenzije i vrsta materijala pojedinih komponenata petlje VISA-1 uzete su iz reference [5] kao i materijala koji je uz ovu referencu dohijen od načelnika Laboratorije 08.

Dimenzije pojedinih komponenata petlje priložene su na tabeli 1.

2.3 Nuklearni parametri za aktivnu zonu RA kao i fizički parametri reaktora kao celine, koji su neophodni za



evaj proračun, dobijeni su iz lab. 09 (zadatak 09-28-proračun RA), izveštaja o sličnim kineskim i ruskim reaktorima, dok se za neke parametre kao D_{1c}, D_{2c} i za akcijsalu i radikalnu komponentu bucklinga morao izvršiti proračun odnosno procena (za buckling) obzirom da se za tih podataka nije raspolagalo. Ovi podaci prileženi su na tabeli (2).

b) - Nuklearni podaci i fizički parametri za komponente petlje uzmoti su u najvećoj mjeri iz ref. (1) i (2) dok su makroskopski preseci za Xirealoy 2 izračunati na osnovu sledećog tehničkog sastava:

element	Z_p	S_p	π	r_p	c_p
tež. udio	0,9775	0,0150	0,0050	0,0015	0,0010

koji je uzet iz ref. (1). Makroskopski preseci za nefisilne komponente petlje VISA prileženi su na tabeli (3).

c) - Nuklearni podaci za gorivni element uzmoti su iz ref. (1), pri čemu je, obzirom da su za apsorpciju usvojeni preseci koji odgovaraju neutronima brzine 2200 m/s, izvršena uobičajena korakacija sa $\sqrt{\pi}/2$, koja se primenjuje kod " λ/ψ " apsorbora, ved i deponeka, uzvod resonantne apsorpcije u U-235 i U-238. Makroskopski preseci za gorivo i vrednost faktora umnožavanja goriva η prileženi su na tabeli (3).

T A B E L A 1. (Dimenzije komponenata petlje)

Derivativi realnih dubaju predstavljaju tri pastile radijusa $r_p = 0,65 \text{ cm}$, čija je ukupna površina $S = 3,382 \text{ cm}^2$ a rastojanje centra pastile od centra trougla (koji zaklapaju centri pastila) $R_o = 1,977 \text{ cm}$.

Na pravouga je podataka jedne oblike pravouga i to iste površine $S = 3,382 \text{ cm}^2$ i istog srednjeg radijusa kružne r_o (1,977).

komponenta petlje	postival čvor	obloga čvor	vodčka čvor	izolaciona čvor	zaštitna čvor	pregradna čvor	sigurnosna čvor	final čvor - 9
matrica	100 (2000)	100		3 1 r o a l o y = 2				oblikovanje
spaljivo (kg/m ³)	1,371	1,517	1,977	2,90	3,50	4,25	4,90	5,15
kontrolirana radijusa (m)	0,993	1,371	1,977	2,75	3,10	4,25	4,50	5,00
površina (cm ²)	3,382	1,320	1,973	2,663	3,294	2,976	11,2912	4,703
dubina (mm)	0,993	0,146	0,19	0,05	0,40	0,10	0,40	0,15

R e s u l t a t i

Podaci i parametri u sklopu zonu reaktora RA

Podatak	veličina	izvor
Difuziona dužina L	$154,5 \text{ cm}^2$ $12,418 \text{ cm}$	09-28 (E)
Starost τ	$140,29 \text{ cm}^2$ $11,844 \text{ cm}$	
Materijalni buckling β	$15,47 \cdot 10^{-2} \text{ cm}^{-2}$ $0,0161 \text{ cm}^{-2}$	
Radijalna komponenta bucklinga α	$3,326 \cdot 10^{-2} \text{ cm}^{-1}$	
Aksijalna komponenta bucklinga β	$3,129 \cdot 10^{-2} \text{ cm}^{-1}$	
$E_2 = \sqrt{1/L^2 + \beta^2}$	$0,0332 \text{ cm}^{-1}$	pratljivoj izvoru 1
$E_1 = \sqrt{1/\tau + \beta^2}$	$0,0370 \text{ cm}^{-1}$	09-28 (E)
Odnos termalnog i brzog neutr. fluksa u zonu RA	$\approx 0,806$	09-28 (E)
Difuziona konstanta D_{20} brze neutroni	$1,3889 \text{ cm}$	09-28 (E)
Difuziona konstanta D_{20} termalne neutroni	$1,1512 \text{ cm}$	09-28 (E)

Tabela 3a

Mikročerni preseci za neutroni UO₂ (24-U235)

Materijal	δ_1 barn	δ_2 barn	δ_a barn	σ_f	\sum_a (cm ⁻¹)	\sum_{tr} (cm ⁻¹)
O	0,0005	-	4,72			
U-235	0,0005	932,72	10			
U-238	0,0005	0,0005	8			
U (24-U235)	0,0005	11,935	8,66	1,763		
UO ₂ (24-U235)	16,924	11,935	16,44	1,763	0,3981	0,7856

Gustina goriva u pastilama je $\rho = 10,3 \text{ g/cm}^3$ [5] i prema tome broja atoma goriva u cm³ je $\rho N_A \cdot 10^{24} (\text{cm}^{-3})$. U tabeli 3a dati su preseci apsorpcije i fluktu za neutrone brzine 2200m/s [1]. a presek za rasjajanje se odnosi na neutrone sa srednjom brzinom u spektru formalnih neutrona [1]. Makroskopski transportni presek izračunat je preko jedna (11c) [6]

$$D = \frac{1}{3[2 + \sum_a (1 - \bar{\chi}_o)]} \quad (11c)$$

gde je $\bar{\chi}_o = \frac{1}{3} \bar{\chi} = 0,3473$ je presek apsorpcije za neutrone sa srednjom energijom u Maxwell-ovoj raspodjeli, dobitjen na osnovu podataka iz tabele 3a, korigovanih sa $\sqrt{\pi}/2$ kao i faktorima $f(\text{U-235})= 0,981 \text{ i } f(\text{U-238})= 1,002$ koji se uveđe zbog rezonantne apsorpcije u ~~neutron~~ oblasti.

Tabela 3b

Makroskopični preseci za neutroni

zadatak	D ₀	A	B
\sum_a [cm ⁻¹]	0,00121		
\sum_{tr} [cm ⁻¹]	0,7853		

Konstanta k₀ potrebna za izračunavanje „otpora”, ne zavisi od toga da li su ~~neutroni~~ neutroni sa srednjom brzinom ili sa 2200m/s te \sum_a i \sum_{tr} moraju biti izračunati na neutrone iste brzine.

Obzirem da je primenjena dvegrupna difuziona teorija preko električne analogije, koja je objašnjena u drugom delu ovog investitaja, na osnovu podataka datih u tabelama 1, 2 i 3, izračunati su otpori koji predstavljaju pojedine komponente petlje kao i unutrašnji otpor invora koji predstavlja reaktorsku sredinu. Vrednosti ovih otpora, njihov raspored u analognom električnom kolu, kao i vrednost struje povratne sprege usled umnožavanja u fisičkoj komponenti i napona V , koji se usled umnožavanja pojavljuju na "unutrašnjem otporu" dati su na sl. 2.

Pad napona na otporu koji odgovara fisičkoj komponenti petlje je mrežlo termalnog flukta na spoljašnjoj površini fisičke komponente koja je upravo predstavljena kao cek. Vrednost flukta na unutrašnjoj površini cek-a kao i u tačkama između spoljašnje i unutrašnje površine određuju se prema sledećoj formuli:

$$\Phi_{2P}(r) = \frac{I_0(x_{2P})}{\frac{2^{\frac{1}{2}} D_{2P} x_{2P} I_1(x_{2P})}{x_{2P}^2} E_1 + \frac{I_0(x_{2P})}{x_{2P}} E_0(x_{2P})} \quad (12)$$

$$I_0(x_{2P}) = \frac{2^{\frac{1}{2}} D_{2P} x_{2P} I_1(x_{2P})}{x_{2P}^2 E_1 + \frac{I_0(x_{2P})}{x_{2P}} E_0(x_{2P})} \quad (12)$$

gdje je $E_0(x)$ vrednost flukta na spoljašnjoj površini cek-a.

Obzirem da realni fluktu na spoljašnjoj i unutrašnjoj površini cek-a nije mala (takođe u ovome mjeri, doprinosi iskrećivanje obitaka neutrone putem lemnista ili dupljine u fisičkoj komponenti) može urediti vrednost flukta na mesto mesta sredina između vrednosti na spoljašnjoj i unutrašnjoj površini ved je ona dobijena grafičkim putem iz tabele:

$$\bar{\Phi}_{2P} = \frac{\Phi_{2P}(r)^2 \pi r^2}{(a^2 - r^2)} \quad (13)$$

Greška dobijenih rezultata se ne može tačno odrediti ali se može proceniti obzirom na učinjene aproksimacije kao i na eksperimentalne podatke i proračune na moko slične slučajeve.

Difuziona teorija je uistvari aproksimacija strože transportne teorije i ona važi utolika manje ukoliko su jači apsorberi i manje dimenzije u pitanju. Ovde se greška pojavljuje ne toliko u vidu odstupanja od oblika distribucije neutronskog flukta koji propisuje difuziona teorija, koliko u promeni konstante $\Sigma_{\text{f}} \sqrt{\lambda} \sum_t \cdot \sum_a$ koja je dobijena na bazi difuzione teorije. Figuriše u izrazu na neutronski flukti.

Gorivo je ušte, radi lakšeg tretiranja, kao prsten sa ekvivalentnom apsorpcijom (tabela 1). Obzirom da depresija flukta ne zavisi samo od ukupnog broja jedra u fiskilne komponente (tj. ukupne apsorpcije) već i od geometrije, to se mora javiti izvesna greška, bez obzira što je geometrija prstena izabrana tako da najviše odgovara geometriji fiskilne komponente u realnom slučaju. Sa računa na gorivni elemenat prema tabeli 1, izvršen je i račun na slučaj kada je srednji radijus kao i broj jedra u prstenu isti kao u prethodnom slučaju ali je debљina prstena jednak dijametru pastila, (Sl. 3b) + i. gustina goriva "manja" nego u realnom slučaju. Ovaj rezultat za srednju depresiju flukta je veći od prethodnog za 2,2 % (što je razumljivo obzirom da je apsorber deštri jak i da postoji "gasenje" kod određivanja srednje depresije neutronskog flukta i ukazuje da ni greška usled uštevanja prstena umesto pastila nije mnogo veća).

U računu je uzeti i doprinos brzih neutrona fiskilne komponente na termalni flukti u petlji i oko nje. Ovaj doprinos je ušte procenjen jer nisu uzeti u obzir gubitci brzih neutrona na strujanje iz fiskilina i njihova apsorpcija u nefiskilnim komponentama petlje koja je vrlo mala. Efekti brze fisije i moderiranja neutrona u materijalima petlje

~~Smanjili~~ bi rezultat za depresiju ali se mogu uzeti kao zane-marljivi. Osim toga, primjenjeni način za uračunavanje prinosa brzih neutrona nije u potpunosti zadovoljavajući u slučaju ubacivanja petlje u umnožavajuću sredinu (naročito kada je $L_c < T_c$) zbog promene „izvora” u električnoj analogiji. U našem slučaju je bilo povoljnije da se uticaj brzih neutrona uzme u obzir što je i učinjeno. Sem ovih mogu se javiti odstupanja i zbog nedovoljno presiznog poznavanja aksijalnog buckling-a^{RA} (koji je samo procenjen) kao i zbog toga što difuziona teorija, koja je primenjena, važi striktno samo za slučaj homogenih reaktora dok fina distribucija fluksa u reaktoru u okolini petlje verovatno dovodi do izvesne greške. Na kraju, treba napomenuti da račun važi za petlju ubaćenu u „hladni” reaktor i da se situacija menja kada se u petlji razvije visoka temperatura.

Na osnovu ovog razmatranja i upoređivanja sa teorijskim i eksperimentalnim rezultatima u sličnim slučajevima procenjeno je da tačna vrednost ne odstupa od izračunate za više od $\pm 6\%$.

Rezultat računa za srednju depresiju fluksa termalnih neutrona u fisilnoj komponenti od UO_2 (2% U235) petlje VISA-1, ubaćene u centralni kanal VK-5 reaktora RA, na bazi difuzione teorije sa dve grupe neutrona, priložen je u vidu depresionog faktora DF, koji je odnos srednjeg fluksa termalnih neutrona u fisilnoj komponenti petlje i fluksa termalnih neutrona u kanalu VK-5 bez petlje

$$DF = \frac{\bar{\Phi}_{2p}}{\bar{\Phi}_{2\infty}} \cdot \frac{\bar{\Phi}_{vk-5}}{\bar{\Phi}_{vk-5}} = \frac{\bar{\Phi}_{2p}}{\bar{\Phi}_{vk-5}} \quad (14)$$

gde je $\frac{\bar{\Phi}_{2\infty}}{\bar{\Phi}_{vk-5}} = 1,029$ odnos fluksa termalnih neutrona u centru reaktora bez petlje i bez kanal VK-5 prema fluksu u kanalu VK-5. Ovaj odnos izračunat je primenom metoda električne analogije, sl. 5.

Na osnovu računa, prikazanog šematski na sl. 2 dobijena je vrednost fluksa termalnih neutrona na spoljašnjoj površini fisilne komponente $\frac{\bar{\Phi}_{2p(a)}}{\bar{\Phi}_{2\infty}} = 0,6768$

Na osnovu ove vrednosti i jedn. (12) dobijena je distribucija fluksa termalnih neutrona u fisilnoj komponenti. Srednja vrednost neutronskega fluksa u fisilnoj komponenti dobijena je grafičkim integralenjem, jed. (13), preko ove raspodele. Na taj način određen je odnos srednjeg fluksa termalnih neutrona

u fisičnoj komponenti petlje prema fluksu u centru reaktora bez petlje i bez kanala VK-5:

$$\frac{\bar{\phi}_{2P}}{\bar{\phi}_{2\infty}} = 0,6388$$

te se dobija: $\frac{\bar{\phi}_{1P}}{\bar{\phi}_{1\infty}} \frac{\bar{\phi}_{2\infty}}{\bar{\phi}_{VK-S}} = 0,6388 \cdot 1,029 = 0,6573.$

Na osnovu ovog računa i izvršene procene greške srednja depre-
sija fluksa u fisičnoj komponenti petlje VISA-1 je:

$$DF = 0,66 \pm 0,04$$

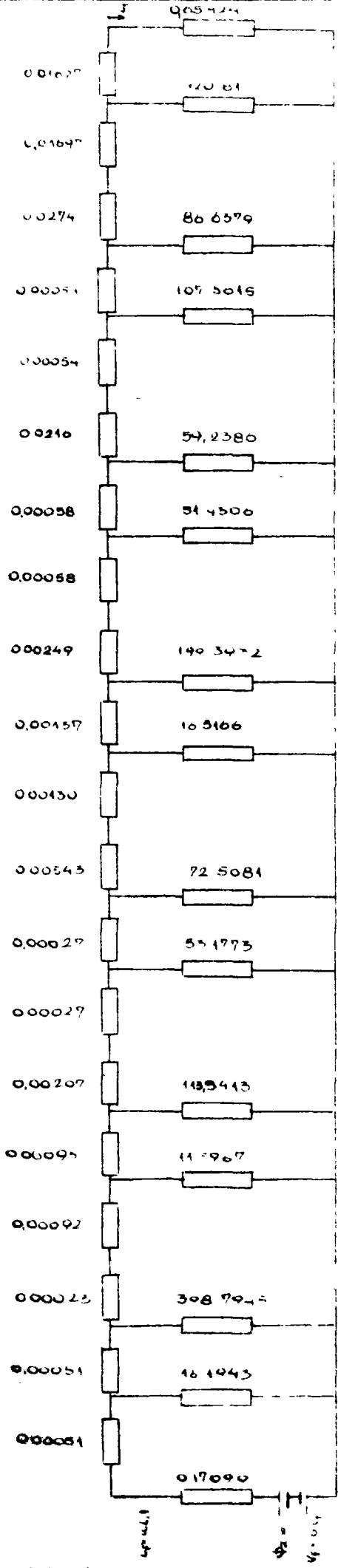
Korekcija zbog superponiranja makroskopske distribucije neutronskog fluksa u RA na raspodelu koja je dobijena po mo-
delu "beskonačnog ravnog fluksa što se tiče raspodele fluksa u fisičnoj komponenti i od interesa je samo ako se želi znati raspodela u celoj petlji i njenoj bližoj okolini, sl.4 (što nije slučaj za petlje ubaćene u necentralne kanale).

L I T E R A T U R A

1. Nuclear Engineering Handbook, H. Etherington, 1958.
2. Galamin, Teoriya jadernih reaktorov na teplovih neitronah.
3. AERE R/R 2418, D. Hiks, 1958.
4. J. Nuclear Energy, 1955, Vol 2, pp.52 to 58, D.A. Newmarch.
5. Izveštaj o radu grupe za izradu predprojekta petlje u Sacle-u i ostali materijali, M. Novaković.
6. K. Magreblian, Reactor Analysis.

S A D R Ģ A J

1. Uvod	strana	1
2. Teprija		2
3. Rezultati proračuna		10
4. Literatura		18



СВЯТОГА ОД НЕРІЧНИЦУМА

ШУПЛІНА

ВОДЕНА ЦЕР

ШУПЛІНА

ВІНОВАЧІСНА ЦЕР

ШУПЛІНА

ЗАЩИТНА ЦЕР

ШУПЛІНА

ПРЕГРАДНА ЦЕР

ШУПЛІНА

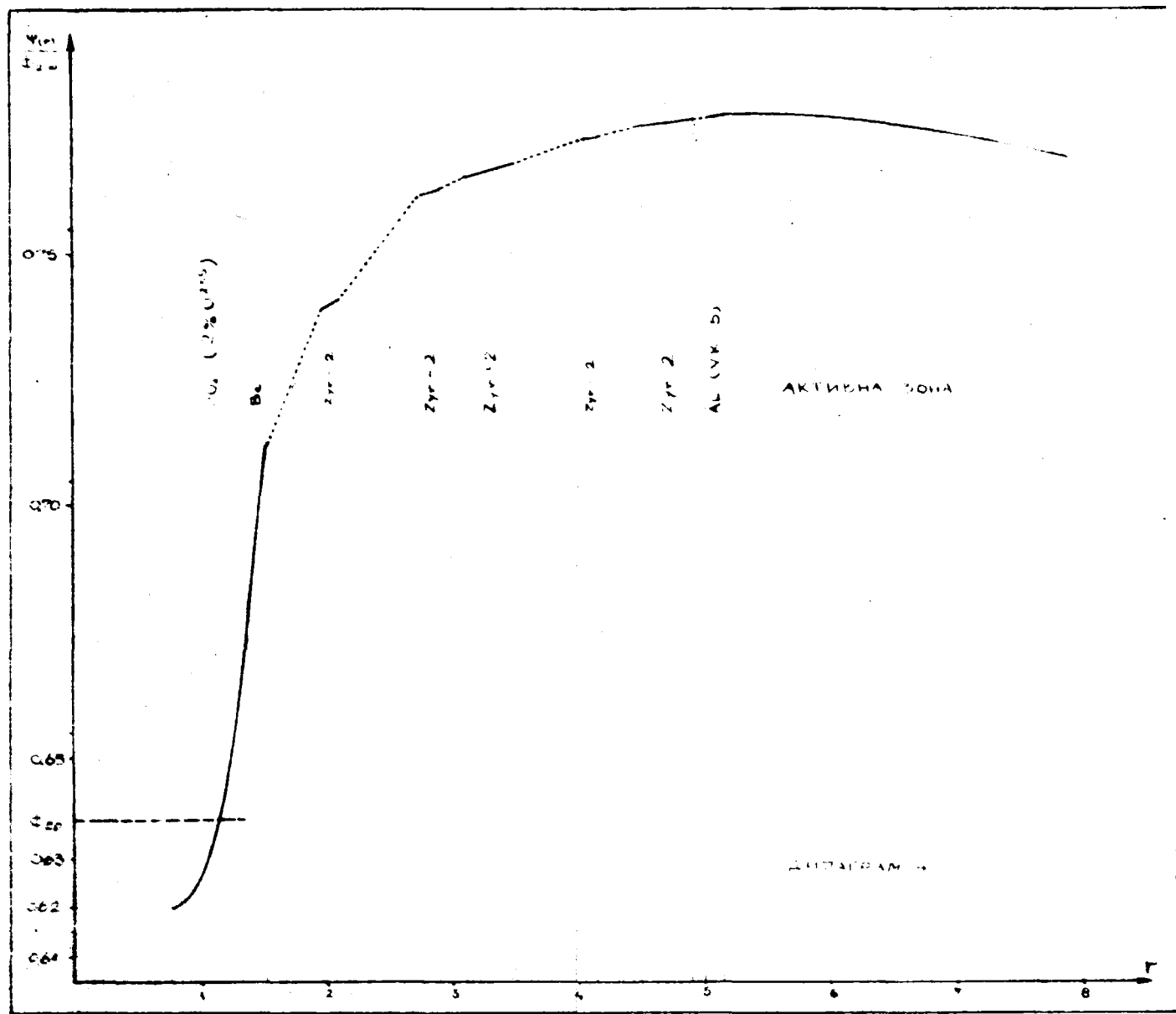
СИГУРНОСНА ЦЕР

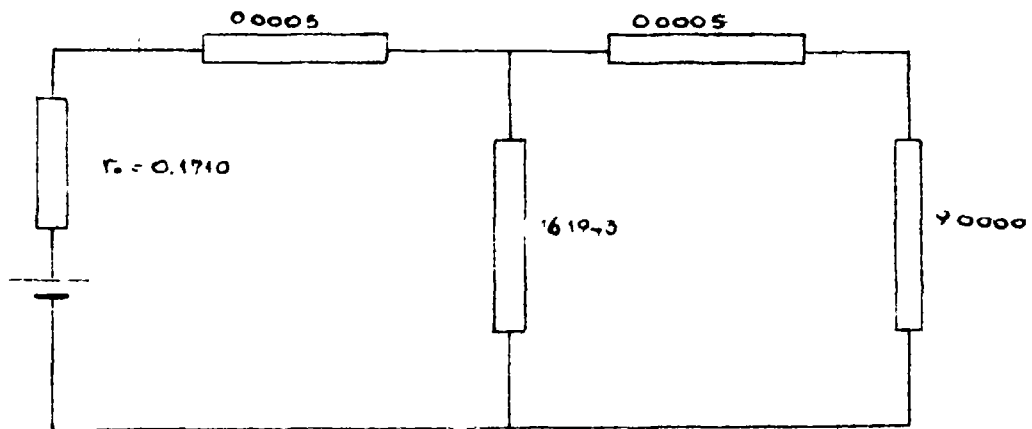
ШУПЛІНА

АЛКОСІУЛЮНЦА КАНАЛА VK-5

АКТИВНА ЗОНА КА

САНКА 2





АКТИВНА
ЗОНА РА

АВ КОШУЧИЦА КАНАЛА УК-5

ШУПЛЯНА У
КАНАЛУ УК-5

СЛИКА 5